

# 一维磁流体力学激波 — 第 4 次作业\*

徐均益<sup>†</sup>

余航<sup>‡</sup>

陈宇韬<sup>§</sup>

中国科学技术大学核科学技术学院, 合肥 230026

中国科学技术大学物质科学研究院等离子所, 合肥 230026

## 摘要

研究讨论一维磁流体力学 (MHD, Magnetohydrodynamics) 激波问题的有限差分数值解法, 主要采用守恒形式的 Lax-Wendroff 格式, 结合理论分析讨论磁声波的特性, 以及分析数值格式的计算效果。以及其他格式如隐格式和迭代法的相关尝试。

## 1 引言

磁流体力学 (MHD, Magnetohydrodynamics) 是磁流体的宏观描述, MHD 方程将流体力学, 麦克斯韦方程以及洛伦兹力结合起来, 是一个多元非线性方程。其对应的 MHD 模拟是太阳物理里面非常常用的手段, 比如磁绳爆发模拟等等。在本次作业中, 我们在上次一维气体激波管问题的基础上, 添加磁流体力学方程组, 对一维磁流体力学激波问题进行模拟和分析。

## 2 理论介绍

本次我们采用无量纲数值的守恒形式, 将磁流体力学方程表示为

$$\frac{\partial U}{\partial t} + \frac{\partial F}{\partial x} = 0 \quad (1)$$

---

\*2023 年春季磁流体力学的数值模拟方法

<sup>†</sup>ID: SA22214015 Email: jyxu@mail.ustc.edu.cn

<sup>‡</sup>ID: SA22168021 Email: yh131996@mail.ustc.edu.cn

<sup>§</sup>ID: SA22214014 Email: chenyt@mail.ustc.edu.cn

其中

$$U = \begin{bmatrix} \rho \\ \rho v^2 + H_y^2 + H_z^2 + \frac{\beta p}{\gamma-1} \\ \rho v_x \\ \rho v_y \\ \rho v_z \\ H_y \\ H_z \end{bmatrix}, \quad (2)$$

$$F = \begin{bmatrix} \rho v_x \\ \rho v_x \left( v^2 + \frac{\gamma}{\gamma-1} \frac{\beta p}{\rho} \right) + 2(H_y^2 v_x + H_z^2 v_x - H_x H_y v_y - H_x H_z v_z) \\ \rho v_x^2 + \frac{\beta}{2} p + \frac{1}{2}(H_y^2 + H_z^2) \\ \rho v_x v_y - H_x H_y \\ \rho v_x v_z - H_x H_z \\ v_x H_y - v_y H_x \\ v_x H_z - v_z H_x \end{bmatrix} \quad (3)$$

这里  $v^2 = v_x^2 + v_y^2 + v_z^2$ . 若取  $\rho_0 = 1, p_0 = 1, v_0 = 1, H_0 = 1/\sqrt{4\pi}$ , 则  $\beta = 2$ , 其中  $A = \frac{\partial F}{\partial u}$ ,  $A$  的表达式为

$$\begin{bmatrix} 0 & 0 & 1 & 0 & 0 & 0 & 0 \\ \dots & \dots & \dots & \dots & \dots & \dots & \dots \\ \frac{(\gamma-1)v^2-2v_x^2}{2} & \frac{\gamma-1}{2} & (3-\gamma)v_x & (1-\gamma)v_y & (1-\gamma)v_z & (2-\gamma)H_y & (2-\gamma)H_z \\ -v_x v_y & 0 & v_y & v_x & 0 & -H_x & 0 \\ -v_x v_z & 0 & v_z & 0 & v_x & 0 & -H_x \\ \frac{H_x v_y - H_y v_x}{\rho} & 0 & \frac{H_y}{\rho} & -\frac{H_x}{\rho} & 0 & v_x & 0 \\ H_x v_z - H_z v_x & 0 & \frac{H_z}{\rho} & 0 & -\frac{H_x}{\rho} & 0 & v_x \end{bmatrix} \quad (4)$$

矩阵第二行 7 个元素分别为

$$-\frac{2(H_y^2 + H_z^2)v_x(1 - \gamma) - 2H_x(H_yv_y + H_zv_z)(1 - \gamma) - pv_x\beta\gamma + v_xv^2(2 - 3\gamma + \gamma^2)\rho}{(1 - \gamma)\rho} \quad (5a)$$

$$\gamma v_x \quad (5b)$$

$$-((-\gamma E\rho + (\gamma - 2)H_y^2\rho + (\gamma - 2)H_z^2\rho + 3(\gamma - 1)m_x^2 + (\gamma - 1)m_y^2 + (\gamma - 1)m_z^2)/\rho^2) \quad (5c)$$

$$-((2(H_xH_y\rho + (\gamma - 1)m_xm_y))/\rho^2) \quad (5d)$$

$$-((2(H_xH_z\rho + (\gamma - 1)m_xm_z))/\rho^2) \quad (5e)$$

$$-((2(H_xm_y + (\gamma - 2)H_y m_x))/\rho) \quad (5f)$$

$$-((2(H_xm_z + (\gamma - 2)H_z m_x))/\rho) \quad (5g)$$

其中  $m_x = \rho v_x, m_y = \rho v_y, m_z = \rho v_z$ .

### 3 数值格式介绍

本次实验我们尝试设计多种格式: Upwind, Lax-Wendroff, TVD, 实现了两支间断较小的激波的模拟, 其中 Upwind 和 TVD 较为稳定。

#### 3.1 数值实验设计

考虑下列初值问题

$$U(x, t)|_{t=0} = \begin{cases} U_L, & x < x_0 \\ U_R, & x > x_0 \end{cases} \quad (6)$$

或者

$$W(x, t)|_{t=0} = \begin{cases} W_L, & x < x_0 \\ W_R, & x > x_0 \end{cases} \quad (7)$$

的有限差分数值计算. 这里  $U$  的表达式由方程 (2) 给出, 具体实验时需要将  $W$  转化成  $U$ , 然后再代入数值程序中进行计算。

$$W = \begin{bmatrix} \rho, p, v_x, v_y, v_z, H_y, H_z \end{bmatrix}^T. \quad (8)$$

上标  $T$  表示转置操作. 取  $\gamma = 5/3, \mu = 1, H_x = 5$ . 分别就如下初值条件设计实验

### 3.1.1 较弱的快激波

取  $x_0 = 0.0$ , 快激波条件为

$$\begin{aligned} W_L &= \left[ 2.121, 4.981, -13.27, -0.163, -0.6521, 2.572, 10.29 \right]^T, \\ W_R &= \left[ 1, 1, -15.3, 0, 0, 1, 4 \right]^T. \end{aligned} \quad (9)$$

### 3.1.2 较弱的慢激波

取  $x_0 = 0.0$ , 慢激波条件为

$$\begin{aligned} W_L &= \left[ 2.219, 0.4442, 0.5048, 0.0961, 0.0961, 1, 1 \right]^T, \\ W_R &= \left[ 1, 0.1, -0.9225, 0, 0, 1, 1 \right]^T. \end{aligned} \quad (10)$$

### 3.1.3 一维 MHD 快激波

取  $x_0 = 0.2$ , 快磁声激波的初值条件为<sup>1</sup>

$$\begin{aligned} W_L &= \left[ 3.896, 305.9, 0, -0.058, -0.226, 3.951, 15.8 \right]^T, \\ W_R &= \left[ 1, 1, -15.3, 0, 0, 1, 4 \right]^T. \end{aligned} \quad (11)$$

## 3.2 一维 MHD 慢激波

同样取  $x_0 = 0.2$ , 慢磁声激波的初值条件为

$$\begin{aligned} W_L &= \left[ 3.108, 1.4336, 0, 0.2633, 0.2633, 0.1, 0.1 \right]^T, \\ W_R &= \left[ 1, 0.1, -0.9225, 0, 0, 1, 1 \right]^T. \end{aligned} \quad (12)$$

## 4 实验结果及分析

### 4.1 Lax-Wendroff 格式

Lax-Wendroff 格式适用于守恒型方程

$$\frac{\partial \mathbf{w}}{\partial t} + \frac{\partial \mathbf{F}}{\partial x} = 0 \quad (13)$$

---

<sup>1</sup>根据附件 Excel 表计算得到, 和文献 Dai et al. (1994) 稍有出入.

其中差分格式为

$$u_j^{n+1} = u_j^n - \frac{\Delta t}{2\Delta x}(F_{j+1}^n - F_{j-1}^n) + \frac{\Delta t^2}{2\Delta x^2} [A_{j+1/2}^n(F_{j+1}^n - F_j^n) - A_{j-1/2}^n(F_j^n - F_{j-1}^n)] \quad (14)$$

其中  $A = \frac{\partial F}{\partial u}$ ,  $A$  的表达式见式 (4). 单元边界上的值可以取

$$A_{j\pm 1/2}^n = A(u_{j\pm 1/2}^n), \quad u_{j\pm 1/2}^n = \frac{1}{2}(u_j^n + u_{j\pm 1}^n) \quad (15)$$

## 4.2 Upwind 格式

Upwind 格式既适用于守恒型方程, 也适用于非守恒方程, 本实验设计使用非守恒方程

$$\frac{\partial \mathbf{u}}{\partial t} + \mathbf{B} \cdot \frac{\partial \mathbf{u}}{\partial x} = 0 \quad (16)$$

差分形式为

$$u_{k,l}^{n+1} = u_{k,l}^n - \frac{\Delta t}{\Delta x} \sum_i \sum_j \left\{ \text{sgn}(\lambda_{i,l}^n) \lambda_{i,l}^n R_{ki,l}^n L_{ij,l}^n [u_{j,l}^n - u_{j,l-\text{sgn}(\lambda_{i,l}^n)}^n] \right\} \quad (17)$$

因为分解特征值之后, 其特征值的物理意义为传播的波速, 所以其正负号决定了迎风格式的差分方向。

## 4.3 TVD 格式

TVD 格式适用于非守恒方程

$$\frac{\partial \mathbf{u}}{\partial t} + \mathbf{B} \cdot \frac{\partial \mathbf{u}}{\partial x} = 0 \quad (18)$$

TVD 全称为 *Total Variat Diminishing*, 即总变差不变或减小, 代表着震荡的剧烈程度减少, 能保证迭代过程中不发散。其中 Minmod 为某一种 TVD 格式, 也是这次实验所采用的方法。Minmod 差分形式为

$$u_{k,l}^{n+1} = u_{k,l}^n - \frac{\Delta t}{\Delta x} \sum_i \sum_j \left\{ \text{sgn}(\lambda_{i,l}^n) \lambda_{i,l}^n R_{ki,l}^n L_{ij,l}^n [u_{j,l}^n - u_{j,l-\text{sgn}(\lambda_{i,l}^n)}^n] + \frac{1}{2} \text{sgn}(\lambda_{i,l}^n) \lambda_{i,l}^n R_{ki,l}^n L_{ij,l}^n [\Delta x - \text{sgn}(\lambda_{i,l}^n) \lambda_{i,l}^n R_{ki,l}^n L_{ij,l}^n \Delta t] [\sigma_{j,l}^n - \sigma_{j,l-\text{sgn}(\lambda_{i,l}^n)}^n] \right\}, \quad (19)$$

其中

$$\sigma_i^n = \text{Minmod} \left( \frac{u_i^n - u_{i-1}^n}{\Delta x}, \frac{u_{i+1}^n - u_i^n}{\Delta x} \right), \quad (20)$$

$$\text{Minmod}(a, b) = \begin{cases} a, & \text{if } |a| < |b| \text{ and } ab > 0 \\ b, & \text{if } |a| > |b| \text{ and } ab > 0 \\ 0, & \text{if } ab \leq 0. \end{cases} \quad (21)$$

我们发现由于 Lax-Wendroff 格式 (如图 1 和图 2 所示) 较 Upwind 和 TVD 格式 (如图 3、图 4 和图 5 所示) 而言会出现振荡, TVD 较 Upwind 格式, 激波模拟得要更加陡峭。

## 5 其他数值方法尝试与分析

这里填入其他数值方法的尝试和分析, 如果周四前还填不了就把这一节给删掉

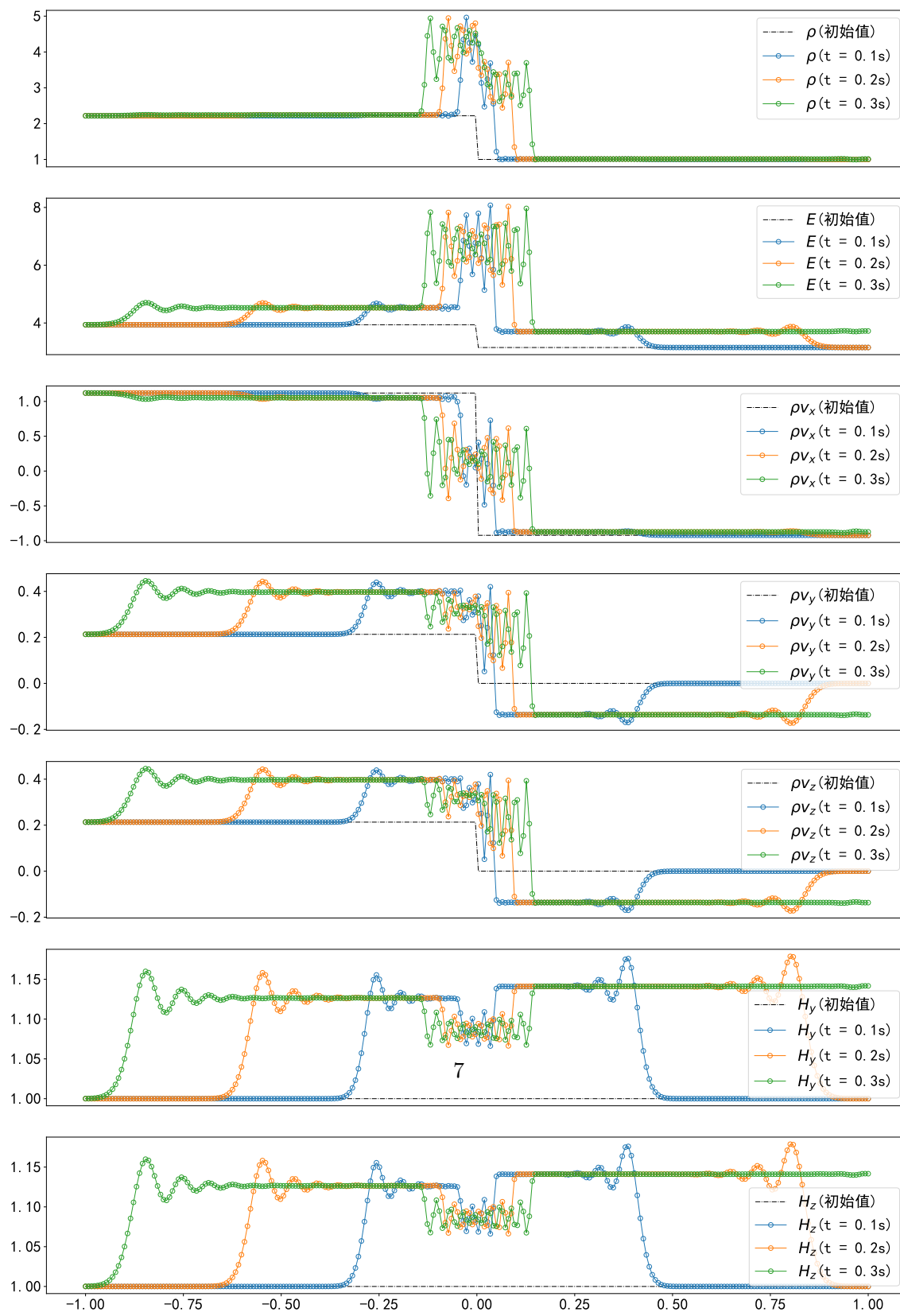
## 6 附件

附件及附件的说明见 [appendix.txt](#)

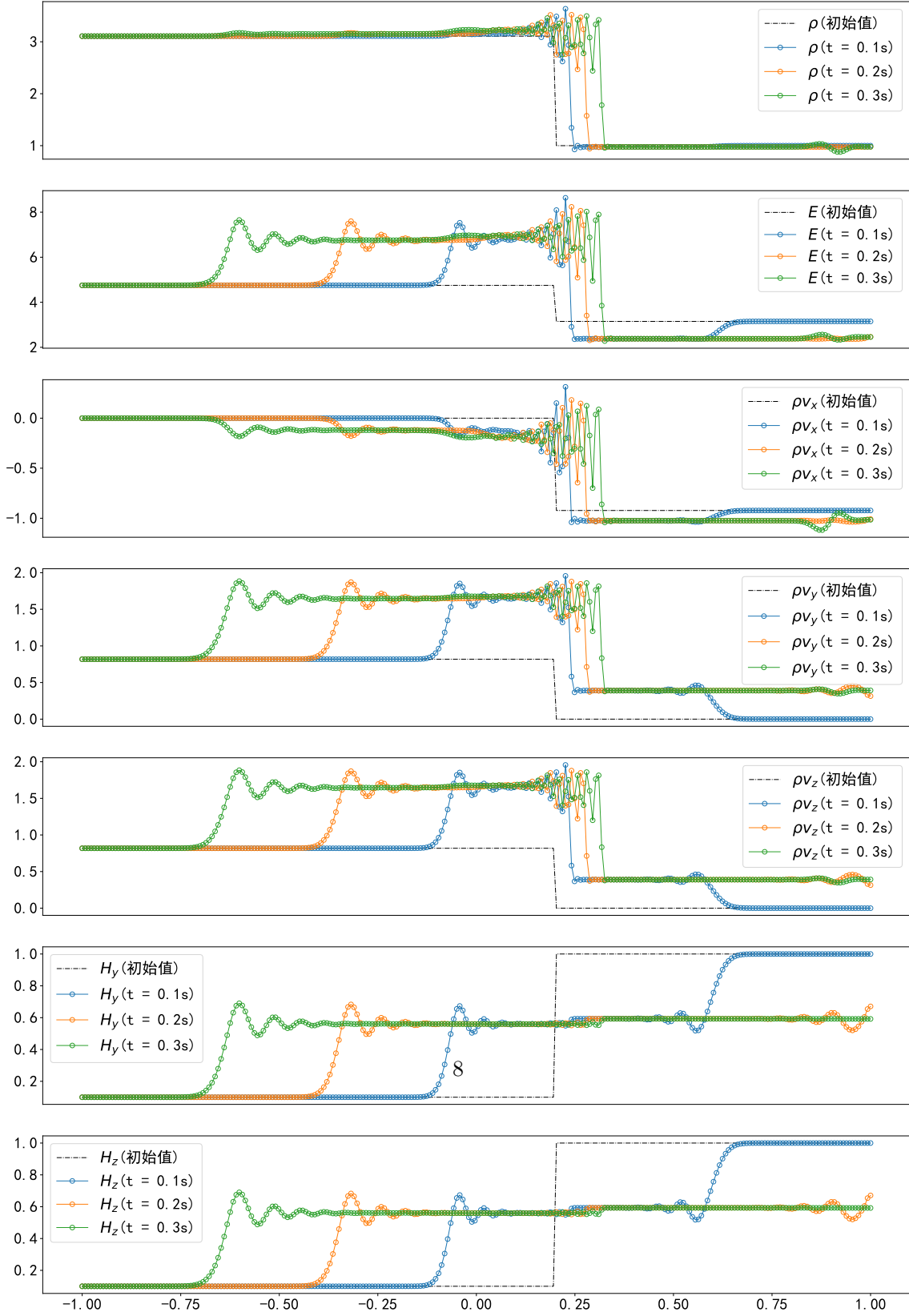
## 参考文献

DAI W, WOODWARD P R, 1994. Extension of the piecewise parabolic method to multi-dimensional ideal magnetohydrodynamics[J]. J. Comput. Phys., 115: 485-514.

t = 0.3    C = 0.1    Lax-Wendroff



$t = 0.3$     $C = 0.1$    Lax-Wendroff





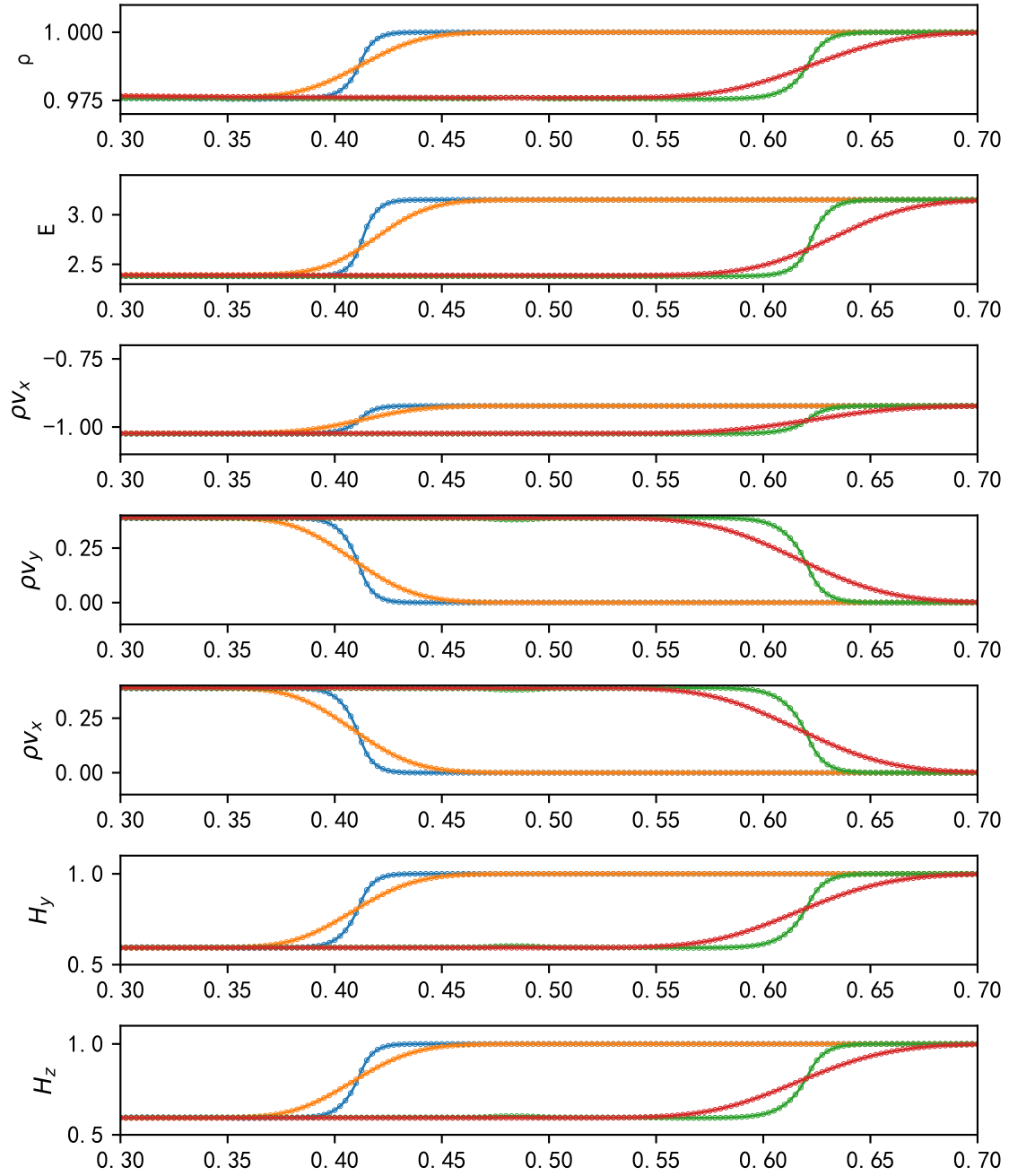


图 3: 使用 Upwind 和 TVD 格式计算较弱的慢激波, 取  $x_0 = 0.0$ , 网格点数为 300. 从上到下分别是密度  $\rho$ , 能量  $E$ , 质量流  $\rho v_x, \rho v_y, \rho v_z$  和磁场  $H_y, H_z$ 。

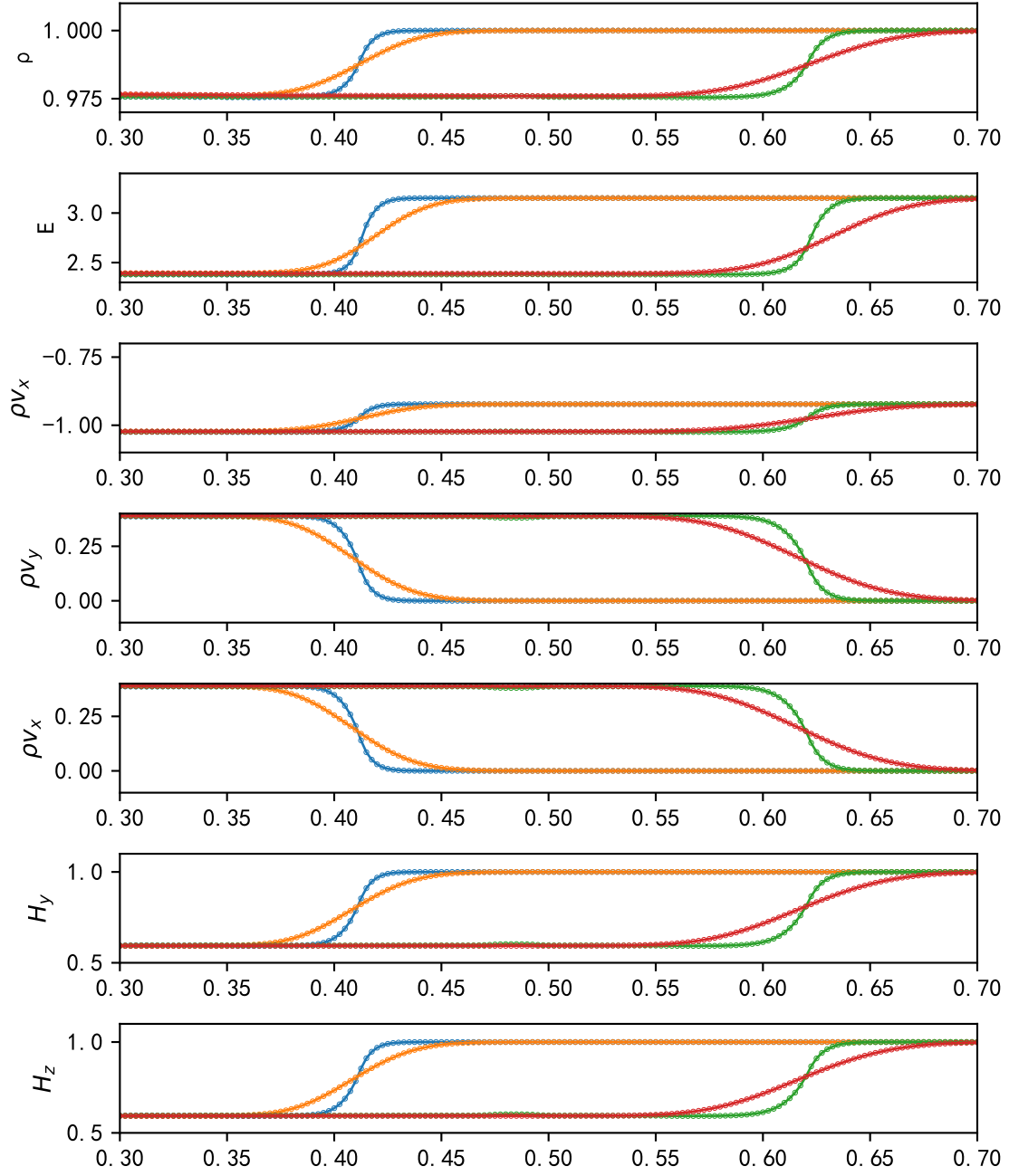


图 4: 使用 Upwind 和 TVD 格式计算较弱的慢激波, 取  $x_0 = 0.2$ , 网格点数为 300. 从上到下分别是密度  $\rho$ , 能量  $E$ , 质量流  $\rho v_x, \rho v_y, \rho v_z$  和磁场  $H_y, H_z$ 。

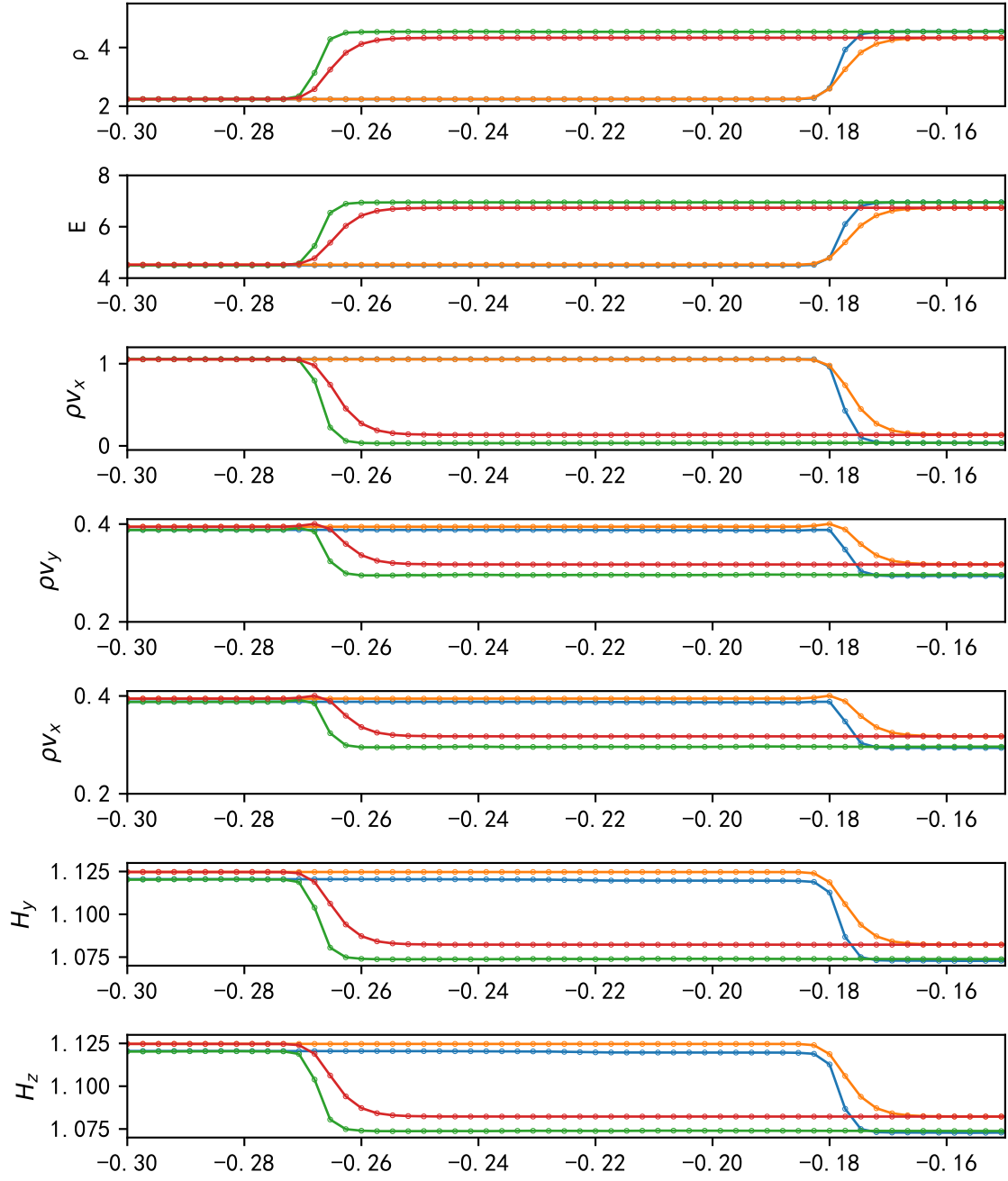


图 5: 使用 Upwind 和 TVD 格式计算较弱的慢激波, 取  $x_0 = 0.0$ , 网格点数为 300. 从上到下分别是密度  $\rho$ , 能量  $E$ , 质量流  $\rho v_x, \rho v_y, \rho v_z$  和磁场  $H_y, H_z$ 。